

2 Термические условия Дальневосточных морей

Японское море

В первой и второй декадах февраля на части акватории Японского моря, восточнее 132° в. д., наблюдались области отрицательных аномалий температуры поверхности моря с величинами достигающими $-2,0^{\circ}\text{C}$. Одновременно, в юго-западной части моря наблюдались локальные области относительно тёплых вод с аномалиями температуры поверхности моря до $+2,0^{\circ}\text{C}$. В третьей декаде относительно теплые воды с максимальными величинами аномалий до $+3,2^{\circ}\text{C}$ покрывали всю южную часть Японского моря (рис. 2-1).

Охотское море

Весь февраль на всей акватории Охотского моря распределение температуры поверхности моря было близко к климатическому. Величины аномалий температуры поверхности моря находились в пределах $\pm 0,6^{\circ}\text{C}$ (рис. 2-2).

Берингово море

В феврале на всей акватории Берингова моря наблюдались относительно теплые воды с максимальными величинами аномалий температуры поверхности моря в северной части акватории до $+2,0^{\circ}\text{C}$, $+2,4^{\circ}\text{C}$ и $+2,6^{\circ}\text{C}$ в первую, вторую и третью декады, соответственно. Минимальные значения аномалий температуры поверхности моря, около $+0,4^{\circ}\text{C}$, наблюдались в южной части региона (рис. 2-3).

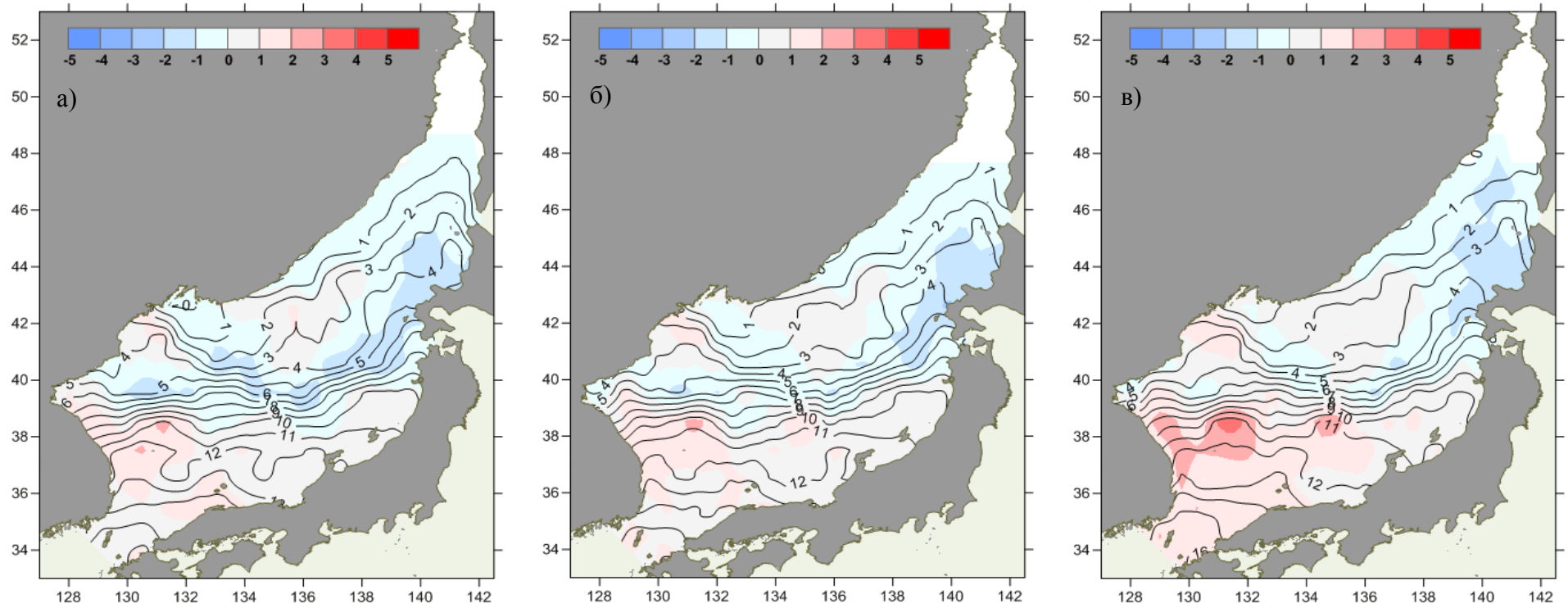


Рис. 2-1 Средняя декадная температура воды (изолинии) и её аномалия (изополосы), Японское море, декады февраля: 1 – а, 2 – б, 3 – в

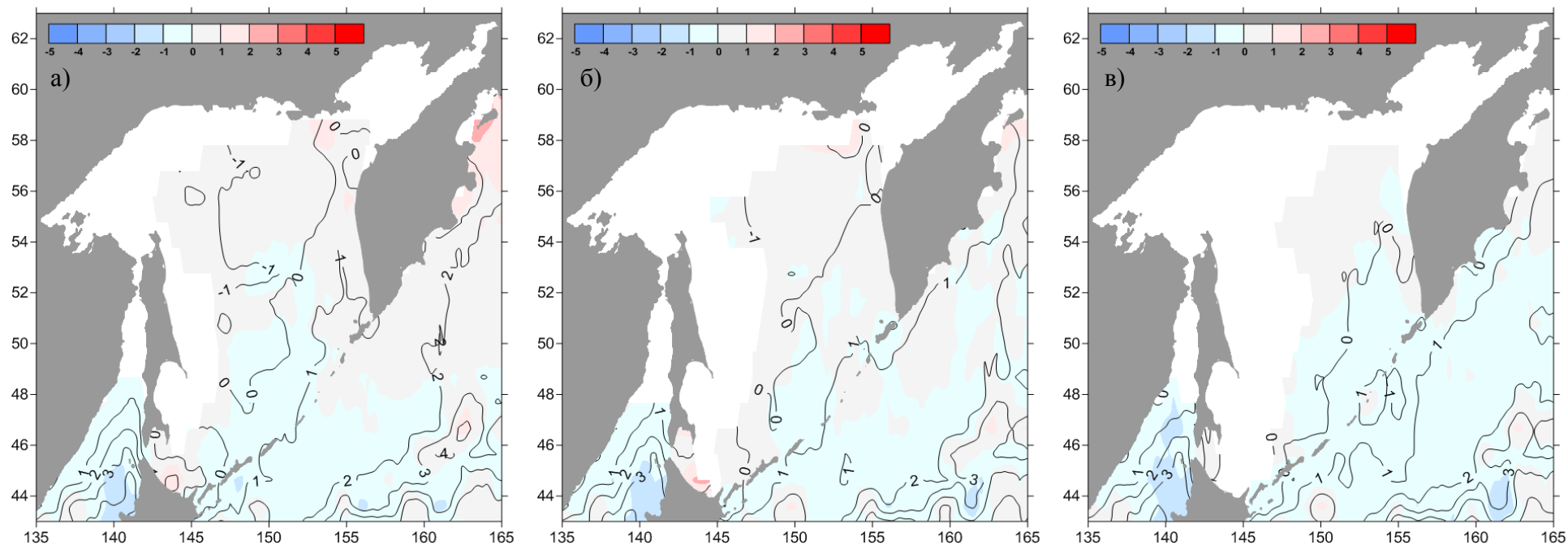


Рис. 2-2 Средняя декадная температура воды (изолинии) и её аномалия (изополосы), Охотское море, декады февраля: 1 – а, 2 – б, 3 – в

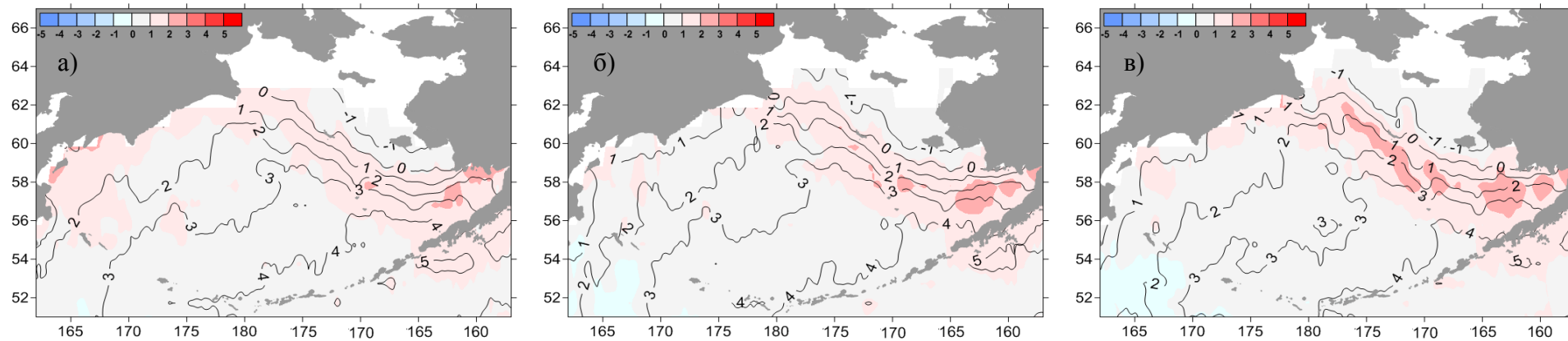


Рис. 2-3 Средняя декадная температура воды (изолинии) и её аномалия (изополосы), Берингово море, декады февраля: 1 – а, 2 – б, 3 – в